

## Параметры элементарных ячеек некоторых кристаллов

Типы кристаллов	Периоды элементарной ячейки, нм	Число атомов в элементарной ячейке
Химические элементы, простейшие соединения . . . . .	0,5—1,0	~10
Неорганические и простые молекулярные соединения . . . . .	1,0—2,0	до сотен
Сложные органические соединения . . . . .	2,0—4,0 до 10—30	до тысяч
Белки . . . . .	10 <sup>3</sup> —10 <sup>5</sup>	10 <sup>4</sup> —10 <sup>9</sup>
Вирусы . . . . .	до 200	

растворенного и хим. строения составляющих их молекул. Изучено неск. сотен К. с. сложнейших веществ биол. происхождения: белков, нуклеиновых кислот, вирусов (см. *Биологический кристалл*). Существуют международные ЭВМ-банки данных, описывающие все неорганич., органич. и биологич. К. с.

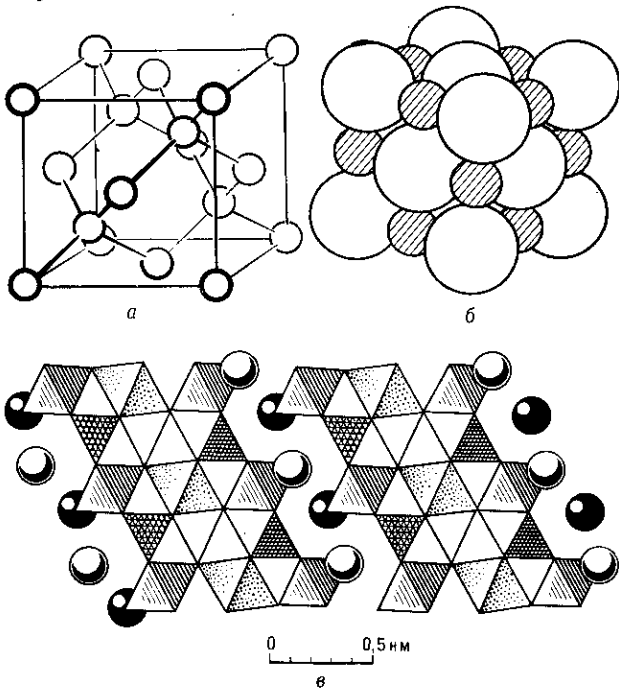


Рис. 1. Модели кристаллических структур: а — алмаз, б — хлористый натрий NaCl, в — бафертит  $\text{BaFe}_2\text{TiO}_6$ .

Совр. прецизионные дифракционные методы позволяют, кроме координат атомов (геом. модели), определять др. характеристики К. с.

**Тепловые колебания атомов.** Амплитуда тепловых колебаний атомов, приблизительно обратно пропорциональная силам хим. связей между атомами в К. с., обратно пропорциональна массе атомов и прямо пропорциональна темп-ре  $T$ . В первом приближении сферически симметричных (изотропных) колебаний вероятность  $w(r)$  нахождения центров атомов на расстоянии  $r$  от идеальной позиции описывают гауссовским распределением

$$w(r) = (2\pi\bar{u}^2)^{-3/2} \exp(-r^2/2\bar{u}^2),$$

где  $\bar{u}^2$  — среднеквадратичное смещение атома. Величины  $\bar{u}^2$  определяются экспериментально по спаду интенсивностей дифракционных отражений. В общем случае анизотропных колебаний  $w(r)$  каждого атома характери-

зуется тремя параметрами  $\sqrt{\bar{u}_1^2}$ ,  $\sqrt{\bar{u}_2^2}$ ,  $\sqrt{\bar{u}_3^2}$  полуосей

эллипсоида тепловых колебаний и тремя углами, задающими ориентацию эллипсоида (рис. 2, а) (это определяет 6 компонент симметричного тензора 2-го ранга). Обычно изображают эллипсоид, соответствующий тому, что интеграл по  $w(r)$  внутри него равен 0,5, тогда полуоси эллипсоида равны  $1,54\sqrt{\bar{u}^2}$ . Величины  $\sqrt{\bar{u}^2}$  в К. с. колеблются от 0,005—0,015 нм (ковалентные неорганич. кристаллы, металлы, неорганич. соединения) и до 0,02—0,03 нм для органич. кристаллов, в к-рых вандер-ваальсовы связи между молекулами слабы. В колебаниях атомов органич. кристаллов можно выделить колебания молекулы как целого и внутримолекулярные атомные колебания. Для алмаза  $\sqrt{\bar{u}^2}=0,002$  нм. При повышении темп-ры перед плавлением  $\sqrt{\bar{u}^2}$  достигает прибл. 0,1 от межатомных расстояний и К. с. становится неустойчивой, происходит переход в жидкость.

Экспериментально можно детально определить ангармонизм тепловых колебаний атомов К. с., описываемый тензорами более высокого ранга. Поверхность, характеризующая колебания, уже не является трёхос-

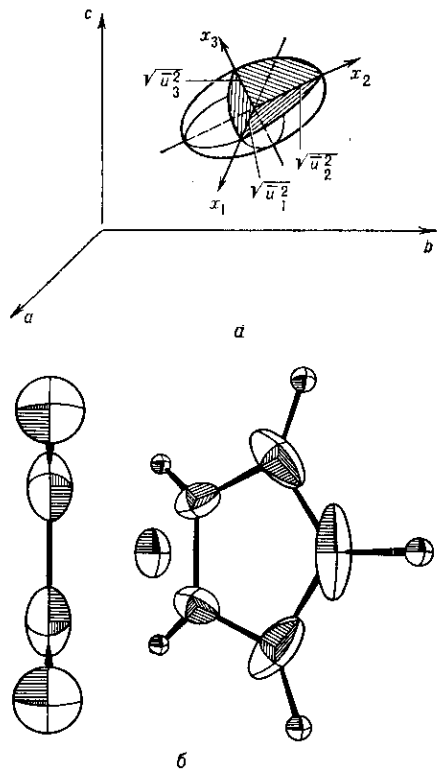


Рис. 2. Эллипсоиды тепловых колебаний атомов в решётке: а — общий случай произвольной ориентации; б — анизотропия колебаний в структуре,  $\mu$  — ацетилена — bis-цикlopентадиен никеля при 300К. Слева — молекулы ацетилена, справа — цикlopентадиена.

ным гауссовым эллипсоидом и не имеет центра симметрии. Параметры ангармонизма позволяют связать характер колебаний атомов с акустич., сегнетоэлектрич. свойствами кристаллов, указать возможные смещения атомов при фазовых переходах в высокотемпературные модификации К. с. Частоты колебаний атомов в К. с. составляют порядка  $10^{12}$  Гц, их определяют спектроскопич. методами, методом неупругого рассеяния нейтронов (см. *Колебания кристаллической решётки*).

Вычитая из наблюдаемого распределения  $\rho(r)$  (1) распределение  $\rho_0(r)$  (2), можно найти деформационную